

Improvement of the Specification of the Asphalt Concrete Overlay by Using Polypropylene

Hayder Salman Khudhair

Department of Civil Engineering, University of Karbala, Iraq

h_salman83@yahoo.com

Abstract

The research aims to prepare high-performance asphalt concrete with good specifications for using in asphalt concrete overlay can resist deformations and problems faced and increase its age service. Used all of polypropylene particles as an additive to the asphalt concrete type (AC 60-70) by six ratios (1, 2, 3, 4, 5 and 7) % of optimum asphalt content weight, as an additive for asphalt mixture with a maximum size of the aggregate (19mm). Study the effect of these additions on the volumetric and the mechanical properties of the asphalt concrete and evaluate its performance through Marshall Method test by take at least three specimens of ratio tested.

The results showed that the use of polypropylene particles improve the performance and specifications of asphalt concrete and increase the ability to resist deformations that are exposed, where it was concluded that the addition of ratio (4%) of the weight of the asphalt of polypropylene gives optimum improvement of the performance of the asphalt concrete overlay, where Marshall stability is increased by 47% and flow decreased by 17% compared to untreated mixtures respectively, with volumetric properties within limitations of the specifications.

Key Words: Polypropylene particles, Overlay asphalt concrete, Marshall Test, Hot mix Asphalt.

تحسين مواصفات طبقة الخرسانة الإسفلتية باستخدام حبيبات البولي

بروبيلين

حيدر سلمان خضير

قسم الهندسة المدنية، جامعة كربلاء، العراق

h_salman83@yahoo.com

الخلاصة

يهدف البحث إلى إعداد خلطة إسفلتية عالية الأداء تتمتع بمواصفات جيدة لاستخدامها في طبقة التقوية تستطيع مقاومة المشاكل والعيوب التي تتعرض لها وتزيد من عمرها الخدمي. حيث استخدمت حبيبات البولي بروبلين كمادة مضافة للرابط الإسفلتي نوع (AC 60-70) بسبة نسب (1، 2، 3، 4، 5، 7) % من وزن النسبة المئوية للإسفلت مع استخدام ركام ذو المقاس الأعظم 19 ملم. تم دراسة تأثير هذه الإضافات على الخصائص الحجمية والميكانيكية وتقدير أداء الخلطة باستخدام فحص مارشال وبأخذ ما لا يقل عن 3 نماذج لكل نسبة. بينت الدراسة أن استخدام 64% من حبيبات البولي بروبلين من وزن الإسفلت المئوي أعطى التحسين الأمثل بالاداء مقارنة مع الخلطة المرجعية غير المعالجة حيث زاد ثبات مارشال بنسبة 47% ونقص مقدار الانسياب بمقدار 17% مقارنة بالخلطة المرجعية. كما بينت النتائج ان اضافة مثل هكذا نسبة اعطت خلطة ذات مواصفات حجمية ضمن حدود المواصفة.

الكلمات المفتاحية: حبيبات البولي بروبلين، طبقة التقوية الإسفلتية، فحص مارشال، الخلطات الحارة.

1 - المقدمة

الطريق منشأة هندسية حضارية قديمة تتطور باستمرار تبعاً لتطور المواد المستخدمة في إنشاءها وكذلك تطور المركبات المستخدمة لها كما ونوعاً والمواصلات تتميز عن بقية أنواع المواصلات من كونها سهلة الاستخدام من قبل الناس مقارنة مع بقية أنواع المواصلات (البحرية - الجوية - السكك الحديدية) وعليه تعتبر الطرق من العناصر الأساسية التي تسهم في تطور الحياة الاقتصادية والاجتماعية والخدمية للمجتمعات البشرية، مما يدعونا للاهتمام بهذه المنشأة والبحث الدائم في مجال تطوير الطرق والمواد المستخدمة في إنشاءها وصيانتها [1].

مئات الكيلومترات من الطرق الرئيسية التي تم إنشاءها في العقود الثلاثة الماضية والتي صُنعت طبقات رصتها على عمر تصميمي عشرين عاماً وذلك اعتماداً على تقديرات عدد المحاور المكافحة المتوقع أن تمر عليها خلال العمر التصميمي قد بلغت عمرها التصميمي بالفعل بينما تعرضت أجزاء كبيرة من شبكات الطرق السريعة إلى زيادة كبيرة في الأضرار نتيجة الزيادة الكبيرة في كل من حجم حركة المرور واستخدام مركبات أقل وزناً منذ أوائل عام 1970 مما أدى إلى انخفاض في قيمة دليل الخدمة Present Serviceability Index (PSI) للحد الذي يتوجب فيه إعادة تأهيل هذه الطرق وصيانتها [1].

إحدى التحديات الأساسية التي واجهت وكالات الطرق العالمية في السنوات الأخيرة ليس كيفية تصميم وإنشاء طرق جديدة وإنما كيفية تقييم وصيانة وتطوير القائم منها الآن لمواجهة الميول الجديدة في الحركة المرورية نحو حمولات أكبر وضغط عجلات أكبر واستخدام أكبر للمركبات.

في نموذج الرصف الإسفلتي يتم في أعمال الصيانة وإعادة التأهيل والتطوير اللجوء بشكل كبير إلى استخدام طبقة من الخلطة الإسفلتية توضع فوق سطوح الطرق المراد صيانتها وإعادة تأهيلها أو تطويرها وتدعى هذه الطبقة (طبقة الخرسانة الإسفلتية Asphalt Concrete Overlay) هذه الطبقة تساعد في زيادة قدرة تحمل الطريق الحالي للحملات المرورية وكذلك تساعد في تصحيح الميول وتصحيح العيوب الهيكلية التي يمكن أن تظهر على الطريق وتقلل من أدائه واستخدام هذه الطبقة يضمن لطبقات الرصف التي تم صيانتها خدمة متساوية لطبقات رصف جديدة مصممة في نفس الموقع وعليه فإن استخدام هذه الطبقة في صيانة الطرق يطور هذه الطرق لتحمل حركة مرورية أغزر وأثقل وزناً كما تعزز هذه الطبقة من أداء طبقات الرصف في حياتها المتبقية وتزيد من عمرها التصميمي وتساعد في إعادة تأهيل الطرق وإعادتها للخدمة بزمن وجهد أقل [2].

تعاني الطرق الإسفلتية مجموعة من المشاكل نتيجة الحرارة وزيادة حجم الحركة المرورية واستخدام حمولات أقل للمركبات ، ومنها الشقوق الانعكاسية والتي يمكن تعريفها بأنها ظاهرة انتشار الشقوق في طبقة التقوية الإسفلتية بشكل مباشر عند موقع الشقوق والفواصل الموجودة في طبقات الرصف الإسفلتية أو الخرسانية التي تستند عليها طبقة التقوية الإسفلتية تدعى بالشقوق الانعكاسية ، ويعود السبب في نشوء وانتشار هذه الشقوق ضمن طبقة التقوية الإسفلتية إلى الإجهادات الناتجة عن تغيرات درجة الحرارة وكذلك الإجهادات الناتجة عن الحركة المرورية [4][3] .

الانهيار الناتج من الحرارة – تمتلك كل من طبقة الاهتراء وطبقات الرصف الأخرى قيم مختلفة لعوامل المرونة وتشوهات مختلفة نتيجة للتغيرات الحرارية ولاختلاف المواد المكونة لها وعليه فإن تعرض هذا التركيب من المواد للتغيرات في درجات الحرارة اليومية والموسمية والتي تترافق عادة بدورات من التجمد والذوبان [5].

الانهيار الناتج عن الحركة المرورية – إن حركة المرور وبالخصوص الحركة الناتجة عن مرور المركبات الثقيلة تنتج عنها تعاقب دورات التعب التي تجهد طبقة التقوية الإسفلتية وبفعل الشد والضغط والتفرغ والتحميل للإجهادات، ومن طرق علاج المشاكل المذكورة أعلاه هو استخدام طبقة التقوية الإسفلتية (HMA) Overlay) [5]

على الرغم من الانتشار الواسع لاستخدام طبقة التقوية الإسفلتية (HMA Overlay) كإحدى أهم الطرق المتبعة في عملية الصيانة وإعادة التأهيل والتطوير للطرق وأكثرها انتشاراً سهولة وسرعة تنفيذها وقلة تكاليفها، إلا أن هناك العديد من العيوب والمشاكل التي ترافق استخدامها والتي ينتج معظمها عن انعكاس لعيوب طبقات الرصف القديمة التي ترتكز عليها طبقة التقوية الإسفلتية.

2- أبحاث ودراسات سابقة في مجال تعديل الخلطة الإسفلتية بالمواد البوليمرية:

(Carpenter S.H. and VanDam T) أجروا سلسلة شاملة من الاختبارات على مجموعة من الإضافات البوليمرية لتأسيس قاعدة من البيانات التجريبية يمكن الاستفادة منها وجعلها مؤشر عند تصميم الخلطات الإسفلتية المعدلة بالإضافات البوليمرية في هذه الدراسة تم تكوين خمس خلطات معدلة بالبوليمرات

بالاعتماد على الرابط الإسفليتي، AC-5، AC-10، AC-20 وثلاث أنواع قياسية من الإسفلت هي (AC-5، AC-10، AC-20) : استخدمت للمراقبة والمقارنة. الرابط الإسفليتي الأساسي AC-5 استخدم في جميع الخلطات الإسفلتفية المعدلة بالبوليمرات بينما استخدم النوعين الآخرين من الرابط الإسفليتي في الخلطات الإسفلتفية غير المعدلة. البوليمرات المستخدمة متغيرة الكميات والأنوع ومصدرها (Shell Development Company, Houston, Texas) . [8]

(Perez F.E and Gordillo J) في عام 1990 درساوا تأثير استخدام الروابط الإسفلتفية التالية في تصنيع خلطة إسفلتفية مسامية على الخصائص المختلفة للخلطة الإسفلتفية: (إسفلت 80-100 معدل ب EVA، الرابط الإسفليتي التقليدي AC 60-70 للمقارنة)، هذه الدراسة أجريت في مختبر الطرق في جامعة Cantabria ومركز أبحاث E.S.M. تمت المقارنة بين أداء العينات المصممة بالرابط الإسفليتي المعدل بالبوليمرات مع تلك المصممة بالرابط الإسفليتي التقليدي [9].

(Khattak M. J. and Baladi G.Y) بحثوا في تأثير الإضافات البوليمرية التالية على عدد من الخصائص الهندسية للخلطات الإسفلتفية: styrene-butadiene-styrene (SBS) and styrene . [10] ethylene-butylene-styrene (SEBS))

(Qi Xicheng, Sebaaly P.E, and Epps J.A) أجروا مقارنة بين سلوك التشوّهات الدائمة في حالة الخلط الإسفلتفية الغير معدلة بالإضافات البوليمرية وتلك المعدلة بالبولي إيثيلين [11] .

(Al-Hadedy A) درس تأثير إضافة البولي إيثيلين بنسب مختلفة على خصائص الإسفلت والخلطة الإسفلتفية بشكل عام، هذه الدراسة وجدت بأن الرابط الإسفليتي المعدل بالبولي إيثيلين يتميز بحساسية حرارية أقل من الرابط الإسفليتي غير المعدل، كما ويبيدي مقاومة أفضل لفعل الشيخوخة والعوامل المناخية ووجدت أيضاً بأن تضمين مادة البولي إيثيلين ضمن الخلطة الإسفلتفية يعطيها نتائج مرضية في اختبار مارشال من حيث ثبات مارشال والقيم الأخرى للاختبار، كما ويحسن من مقاومة الخلطة الإسفلتفية على الشد [12] .

(Abd-Allah Ibrahim) درس تأثير ثلاث أنواع مختلفة من المعدلات البوليمرية وبنسب مختلفة على مواصفات الخلطة الإسفلتفية: hydrated lime, high density polyethylene and styrene-butadiene-rubber حيث وجد بأن إضافة الهيدرات والبولي إيثيلين عالي الكثافة HDPE كإضافات للخلطة الإسفلتفية يحسن من مقاومتها على الشد ومن مقاومتها لتأثير الماء، كما أن إضافة 8% من وزن الإسفلت من البولي إيثيلين عالي الكثافة يزيد مقاومة الخلطة الإسفلتفية على الشد بنسبة 38.7% [13].

(Hanaa Ahmad Kaleel) في عام 2004 بحثت في المعالجات الممكن إجراءها للتقليل من التشوّهات وانهيار طبقة التقوية الإسفلتفية وبشكل خاص مقاومة الشقوق الإنعكاسية، تضمنت المعالجات استخدام نوعين من الإضافات (مطاط الإطارات المعاد تدويره، البولي إيثيلين عالي الكثافة) (HDPE) بنسب مختلفة من وزن الإسفلت كما تضمنت أيضاً استخدام نوعين من الطبقات البوليمرية المشتملة للإجهاد (Non-Woven, Geotextile, Tensar Geogrid) ، تم استخدام الاختبارات التالية في الدراسة (اختبار مارشال، اختبار مقاومة الشد غير المباشر، اختبار الزحف، اختبار مرور العجلة) بعدة درجات للحرارة[5].

في عام 2010 (Kaloush K.E, Zeiada W.A, Biligiri K.P, Rodezno M.C and Reed J) قاموا باستخدام كل من ألياف البولي بروبلين وألياف الأرميد لتحسين خصائص الخلطة الإسفلตية [14] .

3- أهمية البحث والهدف منه:

نتيجة للاهتمام الكبير والتوجه نحو تطوير الطرق والدراسات التي تناولت موضوع تحسين وصيانة الطرق القائمة والتي قاربت من انتهاء العمر التصميمي لها والطرق التي تعرضت إلى أضرار كبيرة نتيجة العوامل المختلفة أو تلك الطرق المراد تطويرها لتصبح قادرة على تحمل حجوم أكبر من حركة المرور وأوزان أكبر للمركبات ، نتيجة لانتشار الواسع للبوليمرات في حياتنا اليومية والتطور الصناعي الكبير لتطبيقاتها كان لا بد من دراسة أثر إضافة البوليمرات إلى الخلطة الإسفلتية على تحسين مواصفات طبقة التقوية الإسفلتية ، حيث يمكن لتفاعلات التي تتم بين البوليمرات بأنواعها المختلفة والإسفلت وكذلك السلوك الجديد للخلطة الإسفلتية المدعمة بالمواد البوليمرية أن تزيد القدرة على مواجهة المشاكل والعيوب الناجمة عن عوامل المرور المتزايدة في السنوات الأخيرة (حمولات مرورية أكبر، حجم مرور أكبر، ضغط عجلات أكبر) إضافة إلى زيادة القدرة على التغلب على الكثير من المشاكل والعيوب التي تتعرض لها طبقة التقوية الإسفلتية بشكل خاص والخلطة الإسفلتية بشكل عام .

يهدف البحث إلى إعداد خلطة إسفلتية عالية الأداء تتمتع بمواصفات جيدة لاستخدامها في طبقة التقوية تستطيع مقاومة المشاكل والعيوب التي تتعرض لها وتزيد من عمرها الخدمي، استخدمت حبيبات البولي بروبلين كمادة مضافة للرابط الإسفلتي بنسبة نسب (1, 2, 3, 4, 5, 7) % من وزن الخلطة الإسفلتية كمادة مضافة للخلطة الإسفلتية ذات المقاس الأعظم للركام الخشن والناعم (19mm) والسبة المئالية من أسفلت (AC 60-70) . دراسة تأثير هذه الإضافات على الخصائص الفيزيائية والميكانيكية للخلطة الإسفلتية وتقدير الأداء تم من خلال اختبار مارشال بأخذ ما لا يقل عن ثلاثة عينات لكل نسبة مختبرية.

بينت النتائج أن استخدام حبيبات البولي بروبلين يحسن من أداء ومواصفات الخلطة الإسفلتية ويزيد القدرة على مقاومة التشوهات والتشققات التي تتعرض لها وبالأخص الشفوق الانعكاسية، حيث تم الاستنتاج بأن إضافة نسبة (4%) من وزن الإسفلت من حبيبات البولي بروبلين يعطي التحسين الأمثل لأداء طبقة التقوية الإسفلتية حيث يزداد ثبات مارشال بنسبة 47% والأنسياب ينقص بنسبة 17% ، مع تحسن الخصائص الفيزيائية.

4 - البرنامج العملي: - تحضير المواد وتصميم الخلطة الإسفلتية المرجعية وإضافة حبيبات البولي بروبلين

من أجل دراسة تأثير إضافة حبيبات وألياف البولي بروبلين على تحسين أداء طبقة التقوية الإسفلتية خلال عمرها التصميمي من خلال التحسين على خصائص الخلطة الإسفلتية المستخدمة في تكوين هذه الطبقة تم في هذا البحث بشكل أساسى الاعتماد على الخصائص الفيزيائية والميكانيكية التي يعطيها كل من اختبار مارشال واختبار مقاومة الشد غير المباشر لدراسة تأثير تلك الإضافات على مختلف الخصائص .

1.4: - تحضير المواد

تم تحديد المواد المستخدمة في هذه الدراسة والتي تشمل (الركام الخشن و الناعم والفلر، الإسفلت، بببات البولي بروبلين)

- أ - الركام: الركام الخشن والناعم المستخدم في البحث هي عبارة عن مواد متوفرة في مدينة كربلاء.
- ب - الفلر: مادة الاسمنت البورتلاندي الاعتيادي (ordinary Portland cement).
- ج - الإسفلت: تم إحضار أسفلت بترولي من مصفاة الدورة ويبين الجدول رقم (2) خصائص الإسفلت المستخدم في البحث.(AC 60-70)

د - المواد البوليمرية: تم إحضار (بولي بروبلين بشكل حبيبات) وتم دراسة تأثيرها على خصائص الخلطة الإسفلตية باعتبارها من البوليمرات المطاوعة حرارياً وتوفراً لتوفرها وتطبيقاتها الواسعة والخصائص المميزة التي تتمتع بها وبشكل خاص الخصائص الحرارية، والتي جهزت من الأسواق المحلية في محافظة كربلاء.

المواصفات والخصائص الأساسية لحببيات البروبولين المستخدمة في البحث تم تحديدها قبل الجهة المصنعة وكما هو مبين في الجدول (3).

تم إجراء الاختبارات اللازمة للركام الخشن والناعم والفلر وفق المواصفات الفنية العالمية للاختبارات والمواد، (American Society of Testing and Materials, 2004) ونتيجة لهذه الاختبارات تم تحديد خصائص الركام الخشن والناعم والفلر كما هو مبين في الجدول رقم (1).

2.4: - تصميم الخلطة الإسفلตية المرجعية

لخلطة الإسفلตية المرجعية تم تصميمها وفق طريقة مارشال في التصميم ومعاييرها [ASTM, 18] D1559، حيث تم إضافة ستة نسب من الإسفلت (4, 4.5, 5, 5.5, 6, 6.5) % كنسبة مؤدية من وزن الخلطة الإسفلتية وتحديد الخصائص الفизيائية والميكانيكية للخلطة الإسفلتية من أجل كل نسبة من نسب الإسفلت المضافة.

في طريقة مارشال يتم تمثيل العلاقة بين نسبة الإسفلت المضافة والخصائص الفيزيائية والميكانيكية التي يعطيها الاختبار، وبدراسته هذه العلاقات تم تحديد نسبة الإسفلت المثالية التي تكون من أجلها خصائص الخلطة الإسفلتية محققة لمتطلبات التصميم المحددة وفق طريقة مارشال والتي يجب أن تجمع بين الخصائص الأساسية التي يجب أن تتمتع بها الخلطة الإسفلتية، والجدول رقم (2) يبين قيم الخصائص الفيزيائية والميكانيكية التي أعطتها الخلطة الإسفلتية وفق كل نسبة من نسب الإسفلت المضافة.

جدول (1): خصائص الركام والفلز

المواصفة ASTM [18]	نسبة الامتصاص %	Gse	G sb (Dry)	G sb (SSD)	الوزن النوعي الظاهري	المادة
C127-88	2.33	2.56 9	2.53 5	2.57 6	2.603	الركام الخشن
C128-97	0.50	2.67 0	2.64 7	2.66 3	2.692	الركام الناعم
C128-97	-	2.72 0	-	-	2.720	الفلز
عامل احتكاك لوس أنجلوس (Los-Angeles Abrasion) % (33 < 35)						
المكافئ الرملي (Sand Equivalent) % (63 > 50)						

جدول رقم (2) خصائص الرابط الإسفلي

الخاصية	المواصفة ASTM [18]	الوحدة	القيمة	الحدود المسموحة
(25°C, 100gr, 5sec) الغرز	D5	1/10 mm	65	60 – 70
(25°C, قابلية السحب 5cm/min)	D113	Cm	>100	≥ 100
حد الليونة (Ring & Ball)	D36	°C	47	40 -50
الوزن النوعي(C) (25°C)	D70	-	1.03	1.02 - 1.04
نقطة الوميض (Cleveland Open Cup)	D92	°C	318	≥ 240
النقص في الوزن (163°C, 50gr, 5h)	D1754	%	0.248	≤ 0.80

جدول رقم (3) المعايير والخصائص الأساسية لحبوبات البروبيلين

الخاصية	المواصفة ASTM [18]	الوحدة	القيمة
نسبة الذوبان (Melt Flow Index)	D1238	gr/10min	10
الكتافة	D1505	gr/cm^3	0.943
نقطة الاشتعال (Softening Point)	D1525B	°C	135

الجدول رقم (4 - 1) خصائص الخلطة الإسفلтиة الموافقة لنسب الإسفالت المضاف

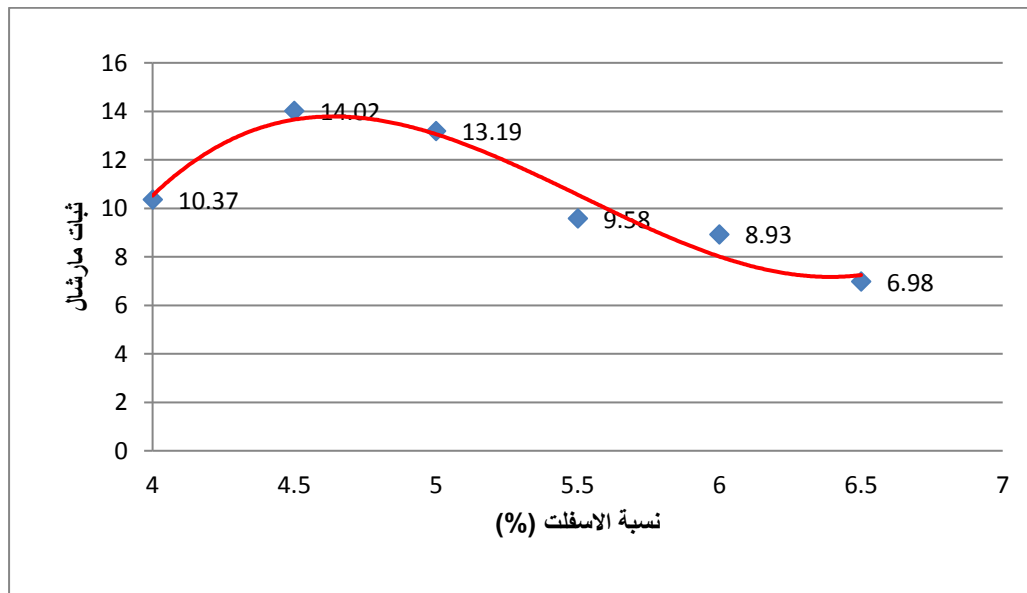
نسبة الإسفالت (%)	العينة	ارتفاع العينة (mm)	عامل التصحيح	ثبات مارشال (KN)	الثبات المصحح	المعدل للثبات (mm)	الزحف (mm)	معدل الزحف (mm)
4	A01	58.2	1.14	8.64	9.85	10.37	2.70	2.57
	A02	61.0	1.04	9.33	9.70		2.55	
	A03	62.0	1.00	11.58	11.58		2.45	
4.5	A11	63.0	1.00	13.98	13.98	14.02	2.90	2.57
	A12	61.5	1.04	13.98	14.54		2.80	
	A13	64.0	1.00	13.54	13.54		3.05	
5	A21	70.0	0.86	15.31	13.17	13.19	3.30	3.38
	A22	59.0	1.14	13.37	15.24		3.40	
	A23	68.0	0.89	12.52	11.15		3.45	
5.5	A31	67.5	0.89	8.09	7.20	9.58	3.65	3.65
	A32	70.0	0.86	12.53	10.77		3.60	
	A33	73.5	0.81	13.29	10.77		3.70	
6	A41	65.0	0.96	10.19	9.78	8.93	4.60	4.63
	A42	63.0	1.00	8.20	8.20		4.50	
	A43	63.5	1.00	8.80	8.80		4.80	
6.5	A51	74.5	0.78	8.16	6.36	6.98	6.05	5.93
	A52	67.0	0.89	6.49	5.78		5.95	
	A53	66.5	0.93	9.48	8.81		5.80	

جدول (4 - 2) خصائص الخلطة الإسفلтиة الموافقة لنسب الإسفالت المضاف

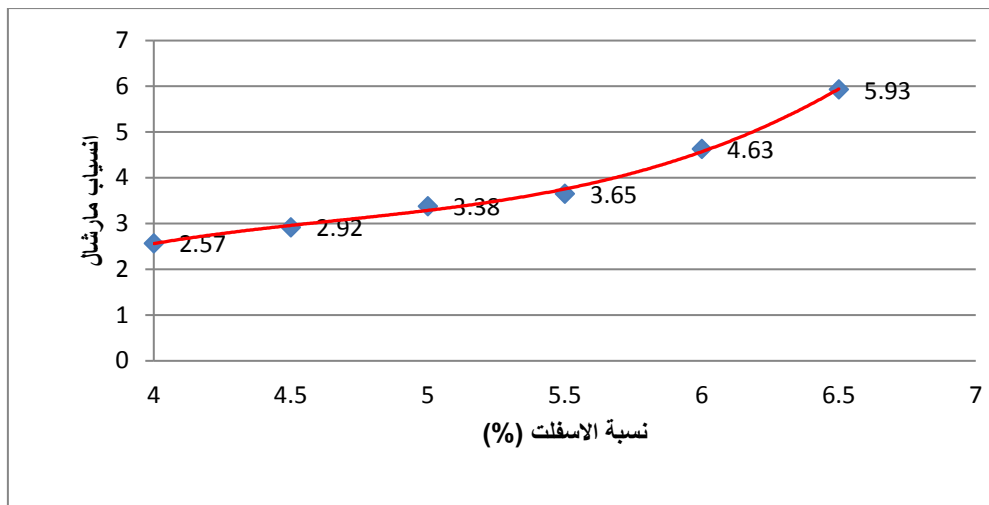
نسبة الإسفالت (%)	العينة	الوزن النوعي الجمي Gmb	المعدل Gmb	الوزن النوعي الاعظمي Gmm	الفراغات الهوانية (%) Pa	المعدل (%) Pa
4	A01	2.294	2.260	2.459	6.67	8.09
	A02	2.234		2.459	9.13	
	A03	2.251		2.459	8.46	
4.5	A11	2.325	2.307	2.431	4.37	5.08
	A12	2.312		2.431	4.89	
	A13	2.285		2.431	5.99	
5	A21	2.340	2.317	2.408	2.83	3.80
	A22	2.320		2.408	3.64	
	A23	2.290		2.408	4.92	
5.5	A31	2.338	2.337	2.385	1.99	2.00
	A32	2.327		2.385	2.44	
	A33	2.348		2.385	1.57	
6	A41	2.355	2.354	2.382	1.11	1.17
	A42	2.344		2.382	1.58	
	A43	2.362		2.382	0.82	
6.5	A51	2.351	2.348	2.375	1.02	1.14
	A52	2.351		2.375	1.02	
	A53	2.343		2.375	1.36	

جدول (4) - خصائص الخلطة الإسفلتينية الموافقة لنسب الإسفلت المضاف

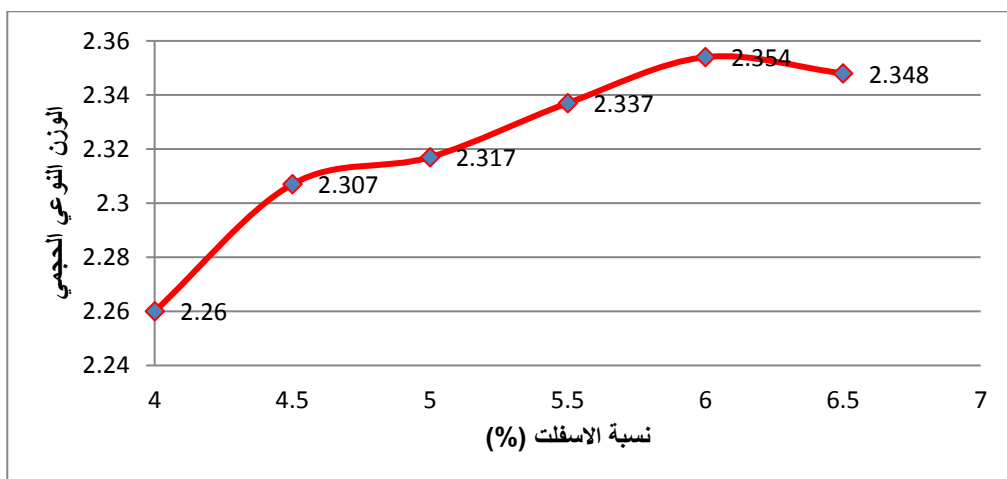
نسبة الاسفلت (%)	العينة	الوزن النوعي الحجمي للخلطة الاسفلتينية Gsb	نسبة الحصى المكسر (%) Ps	نسبة الفراغات للحصى المكسر (%) V.M.A	المعدل (%) V.M.A	الفراغات المليئة بالإسفلت (%) V.F.A	المعدل (%) V.F.A
4.0	A01	2.592	96.00	15.01	16.30	55.56	50.61
	A02	2.592	96.00	17.25		47.09	
	A03	2.592	96.00	16.64		49.17	
4.5	A11	2.592	95.50	14.34	14.98	69.55	66.21
	A12	2.592	95.50	14.81		66.99	
	A13	2.592	95.50	15.80		62.08	
5.0	A21	2.592	95.00	14.23	15.08	80.13	75.04
	A22	2.592	95.00	14.95		75.62	
	A23	2.592	95.00	16.08		69.37	
5.5	A31	2.592	94.5	14.76	14.77	86.54	86.50
	A32	2.592	94.5	15.16		83.88	
	A33	2.592	94.5	14.40		89.09	
6.0	A41	2.592	94.00	14.58	14.63	92.42	92.06
	A42	2.592	94.00	14.98		89.48	
	A43	2.592	94.00	14.33		94.28	
6.5	A51	2.592	93.50	15.19	15.28	93.26	92.58
	A52	2.592	93.50	15.19		93.28	
	A53	2.592	93.50	15.48		91.19	



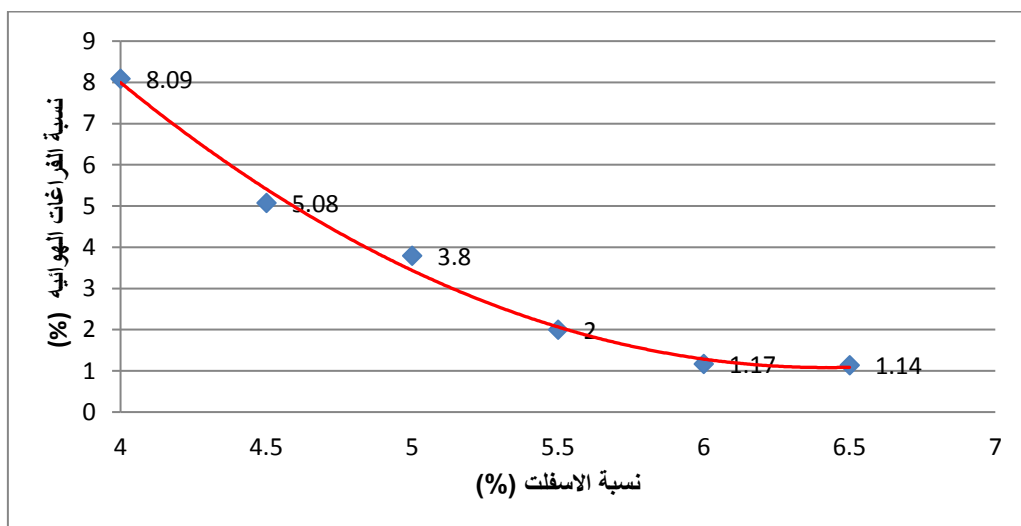
شكل (1) علاقة نسبة الاسفلت مع ثبات مارشال



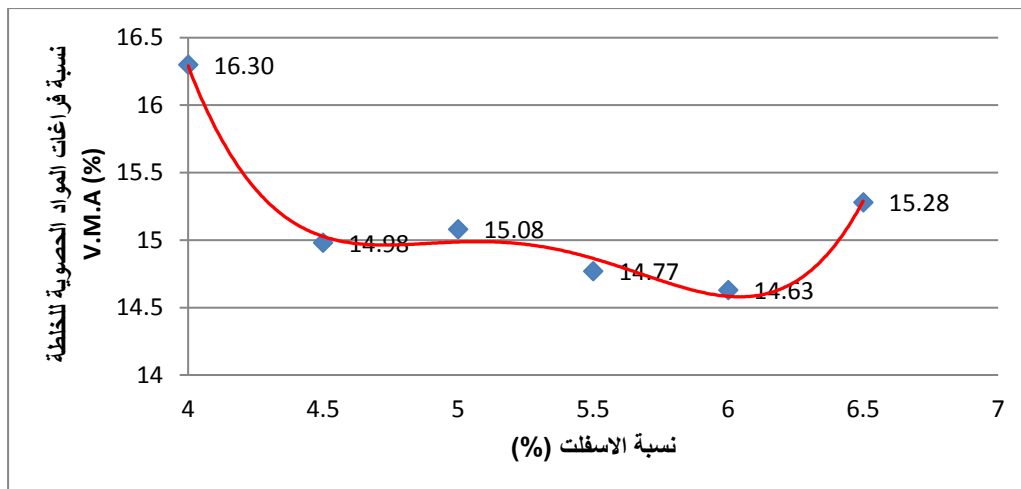
شكل (2) علاقة نسبة الاسفلت مع انسياب مارشال



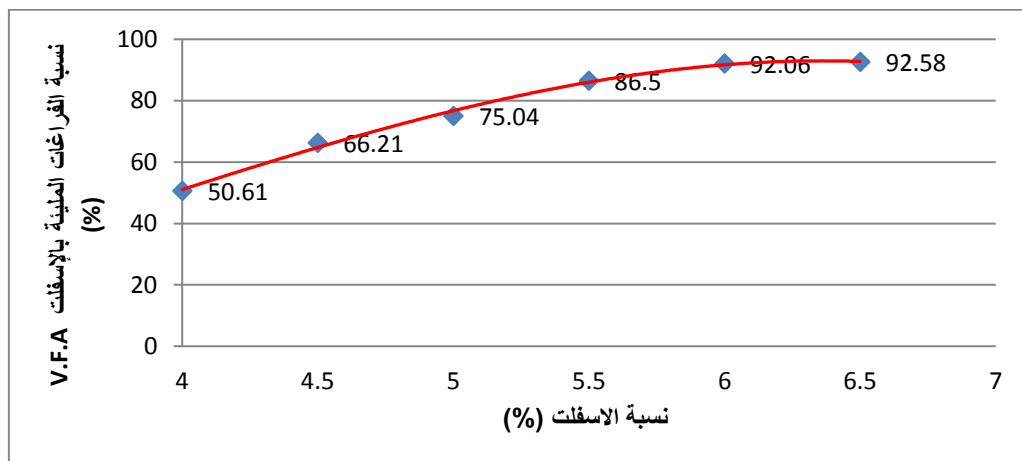
شكل (3) علاقه نسبة الاسفلت مع الوزن النوعي الحجمي



شكل (4) علاقه نسبة الاسفلت مع نسبة الفراغات الهوائية



شكل (5) علاقة نسبة الإسفلت - نسبة فراغات الركام الخشن والناعم والفلر في الخلطة الإسفلตية



شكل (6) علاقة نسبة الإسفلت - نسبة الفراغات المليئة بالإسفلت

بعد تحديد خصائص مارشال تم تمثيل العلاقة بين نسبة الإسفلت المضافة وبين كل خاصية من الخصائص التي يعطيها اختبار مارشال (ثبات مارشال، انسياب مارشال، الوزن النوعي الحجمي، نسبة الفراغات الهوائية، نسبة فراغات الحصى المكسر في الخلطة الإسفلตية، نسبة الفراغات المليئة بالإسفلت) وفق الأشكال (1 ، 2 ، 3 ، 4 ، 5 ، 6) على الترتيب، ودراسة وتحليل المنحنيات الناتجة في الأشكال السابقة نجد بأنه:

من الشكل(1) نلاحظ أن قيمة الثبات لمارشال تزداد بزيادة نسبة الإسفلت حتى الوصول إلى قيمة عظمى للثبات بعدها تميل قيمة الثبات للتناقص مع زيادة نسبة الإسفلت وتفسير ذلك بأنه عندما تكون نسبة الإسفلت منخفضة فإن التماسك بين الركام الخشن و الناعم يكون ضعيفاً ومع زيادة نسبة الإسفلت الذي يلعب دور المادة الرابطة يزداد التماسك حتى الوصول إلى القيمة العظمى للثبات والتي تتحفظ بعدها قيمة الثبات حيث تصبح نسبة الإسفلت المضافة كبيرة مما يسبب في تقليل التماسك بين حبات الركام الخشن و الناعم ويسهل انزلاقها على بعضها البعض مما يجعل الحبيبات تعمد ضمن الإسفلت الأمر الذي يؤدي إلى التقليل من قيمة الثبات لمارشال.

من الشكل (2) نلاحظ أن قيمة الانسياب تزداد مع زيادة نسبة الإسفلت المضافة وتفسير ذلك بأنه مع زيادة نسبة الإسفلت المضافة تسهل حركة حبيبات الركام الخشن و الناعم في الخلطة الإسفلตية ويقل الاحتكاك فيما بينها وبالتالي تزداد قابليتها للانزلاق مما يزيد من قيم الانسياب.

من الشكل (3) نلاحظ بأن الوزن النوعي الحجمي المعبر عن الكثافة الحجمية للخلطة الإسفلتيه يزداد مع زيادة نسبة الإسفلت حتى وصول المنحني لقيمة عظمى وبعد هذه القيمة يتناقص الوزن النوعي الحجمي مع الزيادة في نسبة الإسفلت، ويعود ذلك إلى أنه مع زيادة نسبة الإسفلت يقل الاحتكاك بين حبات الركام الخشن و الناعم ويسهل إنزلاقها وحركتها فيما بينها مما يزيد من فاعلية الرص وبالتالي تزداد كثافة الخلطة الإسفلتيه ويستمر هذا التأثير بزيادة نسبة الإسفلت حتى الوصول إلى قيمة عظمى بعدها تلعب الزيادة في نسبة الإسفلت دوراً عكسيأ حيث تؤدي للتباعد بين الحبات وزيادة الفراغات وقلة فاعلية الرص مما يؤدي إلى انخفاض قيمة الوزن النوعي الحجمي وبالتالي الكثافة الحجمية.

من الشكل (4) نلاحظ بأن نسبة الفراغات الهوائية في الخلطة الإسفلتيه تتحفظ مع زيادة نسبة الإسفلت المضافة، والسبب في ذلك يعود إلى أن الإسفلت المضاف جزء منه تمتصه حبيبات الركام الخشن و الناعم والمواد المائة وتنعلق كميته بالتركيب الحبي للخلطة المواد المائة ويسمى بالإسفلت المتشرب، والجزء المتبقى يغلف الركام الخشن و الناعم والمواد المائة وبؤدي وظيفة الإسفلت الرئيسية كمادة رابطة في الخلطة الإسفلتيه ويدعى هذا الجزء بالإسفلت الفعال وبالتالي مع زيادة نسبة الإسفلت عن الكمية الممتصة من قبل حبيبات الركام الخشن و الناعم والمواد المائة والكمية اللازمة لتغليف الركام الخشن و الناعم ستتشكل كمية زائدة من الإسفلت تعمل على ملئ الفراغ المتبقى بين الركام الخشن و الناعم المغلفة بالإسفلت مسبباً بذلك في إنخفاض نسبة الفراغات الهوائية في الخلطة الإسفلتيه بالإضافة إلى أن زيادة الكثافة الحجمية مع زيادة نسبة الإسفلت تعنى رص الخلطة بشكل جيد وبالتالي انخفاض نسبة الفراغات الهوائية.

من الشكل (5) نلاحظ بأن نسبة الفراغات بين الركام الخشن و الناعم والمواد المائة في الخلطة الإسفلتيه تتناقص بازدياد نسبة الإسفلت المضافة حتى الوصول إلى قيمة صغرى لنسبة الفراغات تبدأ بعدها نسبة فراغات الركام الخشن و الناعم والمواد المائة بالازدياد مع زيادة نسبة الإسفلت وهذا يعود إلى أن الإسفلت يساعد على سهولة انزلاق الركام الخشن و الناعم والمواد المائة على بعضها البعض فمع زيادة نسبة الإسفلت تزداد فاعلية الرص وتزداد كثافة الخلطة الإسفلتيه وبالتالي تقل نسبة الفراغات بين الركام الخشن و الناعم والمواد المائة حتى الوصول إلى النسبة التي يلعب الإسفلت عندها دوراً عكسيأ حيث يقلل من فاعلية الرص وبالتالي تتحفظ كثافة الخلطة الإسفلتيه وتزداد نسبة الفراغات بين الركام الخشن و الناعم والمواد المائة في الخلطة الإسفلتيه.

من الشكل (6) نلاحظ أن نسبة الفراغات التي يملؤها الإسفلت تزداد مع زيادة نسبة الإسفلت المضافة والمنحني المتشكل يكون عكس المنحني المتشكل من علاقة نسبة الإسفلت مع الفراغات الهوائية في الخلطة الإسفلتيه، والسبب في ذلك يعود إلى نفس المناقشة الواردة عن الشكل (4).

وبعد دراسة المجال الذي تحقق فيه نسبة الإسفلت المضافة لشروط التصميم ولقيم الحدية الموضحة في الجدول رقم (2) تم اعتماد نسبة الإسفلت (4.8%) من وزن الخلطة الإسفلتيه كنسبة المثالية التي تحقق القيم الأفضل للخصائص الفيزيائية والميكانيكية للخلطة الإسفلتيه حيث كانت خصائص الخلطة الإسفلتيه المرجعية الموافقة لنسبة الإسفلت المثالية موضحة كما في الجدول رقم (5).

الجدول رقم (5) خصائص الخلطة الإسفلتية المرجعية

الخاصية	القيمة	القيم الحدية القيمة[2]
نسبة الإسفلت المثالية (%)	4.8	-
ثبات مارشال (KN)	12.46	≥ 11
انسياب مارشال (mm)	3	2 - 4
الوزن النوعي الحجمي (Gmb)	2.319	-
نسبة الفراغات الهوائية (%)	4.14	3 - 5
نسبة فراغات الركام الخشن و الناعم و المواد المثلثة (V.M.A %)	14.91	≥ 14
نسبة الفراغات المليئة بالإسفلت (V.F.A %)	72.9	65 - 85

3.4: - تأثير إضافة حبيبات البولي بروبلين على خصائص الخلطة الإسفلتية

تم دراسة تأثير إضافة حبيبات البولي بروبلين على خصائص الخلطة الإسفلتية من خلال إضافتها إلى الرابط الإسفلطي بنسب مختلفة % (0,1, 2, 3,4,5,7) من وزن الإسفلت، وتشكيل عينات من الخلطة الإسفلتية المعدلة بالنسبة السابقة بمعدل ثلات عينات على الأقل من أجل كل نسبة من نسب الإضافة وأخذ القيمة الوسطية ومقارنتها مع العينات غير المعدلة بالحبيبات، وذلك بالاعتماد على الخصائص التي يعطيها كل من اختبار مارشال وتحديد النسبة الأفضل من الحبيبات التي تعطي التحسين الأفضل في خصائص الخلطة الإسفلتية.

اختبار مارشال (Marshall Test)

أُضيفت حبيبات البولي بروبلين إلى الرابط الإسفلطي وتم تشكيل عينات الخلطة الإسفلتية المعدلة وحددت قيم الخصائص الفيزيائية والميكانيكية التي يعطيها اختبار مارشال (ثبات مارشال، انسياب مارشال، صلابة مارشال، الوزن النوعي الحجمي، نسبة الفراغات الهوائية، نسبة فراغات الركام الخشن و الناعم و المواد المثلثة في الخلطة الإسفلتية، نسبة الفراغات المليئة بالإسفلت) من أجل كل نسبة من نسب الحبيبات المضافة كما في الجدول (6).

الجدول: (6-1) خصائص اختبار مارشال الموافقة لنسبة حبيبات البولي بروبلين

حبيبات البولي بروبيلين (%)	العينة	ارتفاع العينة (mm)	عامل التصحيح	ثبات مارشال (KN)	الثبات المصحح	معدل الثبات (mm)	معدل الانسياب (mm)	معدل الانسياب (mm)	صلابة مارشال (KN/m m)
0	B1	63.0	1.00	13.03	13.03	12.55	2.83	2.98	4.23
	B2	63.5	1.00	12.66	12.66		3.00		
	B3	68.5	0.89	13.44	11.96		3.10		
1	B11	64.0	1.00	14.00	14.00	13.54	2.70	2.83	4.79
	B12	67.0	0.93	14.15	13.16		3.00		
	B13	67.0	0.93	14.48	13.47		2.80		
2	B21	64.5	0.96	15.16	14.56	14.60	2.90	2.77	5.28
	B22	66.7	0.93	15.06	14.01		2.60		
	B23	67.5	0.98	17.11	15.23		2.80		
3	B31	67.0	0.93	19.14	17.80	17.31	2.70	2.60	6.66
	B32	67.0	0.93	19.02	17.69		2.50		
	B33	63.5	1.00	16.44	16.44		2.60		
4	B41	68.4	0.89	21.38	19.03	18.43	2.40	2.47	7.49
	B42	71.0	0.83	21.98	18.24		2.40		
	B43	67.0	0.93	19.39	18.03		2.60		
5	B51	65.0	0.96	21.24	20.39	19.63	2.40	2.45	8.02
	B52	64.5	0.96	20.34	19.53		2.45		
	B53	67.0	0.93	20.40	18.97		2.50		
7	B61	66.0	0.93	15.61	14.52	14.99	3.00	2.87	5.24
	B62	65.5	0.96	16.04	15.40		2.90		
	B63	68.0	0.89	16.91	15.05		2.70		

الجدول: (6-2) خصائص اختبار مارشال الموافقة لنسبة حبيبات البولي بروبلين

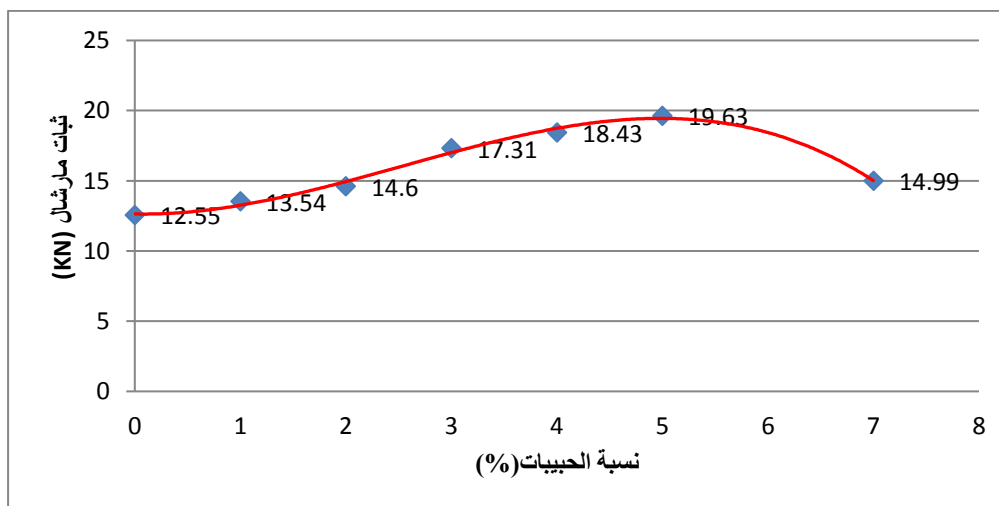
حبيبات بولي بروبيلين (%)	العينة	الوزن النوعي اللحجمي Gmb	المعدل Gmb	الوزن النوعي الاعظم Gmm	الوزن النوعي الاعظم Pa	الفرااغات الهوائية (%) Pa	المعدل (%) Pa
0	B1	2.357	2.341	2.441	3.47	4.12	4.12
	B2	2.330		2.441	4.56		
	B3	2.336		2.441	4.33		
1	B11	2.341	2.338	2.436	3.91	4.04	4.04
	B12	2.333		2.436	4.22		
	B13	2.339		2.436	3.97		
2	B21	2.334	2.334	2.432	4.01	4.01	4.01
	B22	2.335		2.432	3.96		
	B23	2.333		2.432	4.06		
3	B31	2.330	2.330	2.429	4.05	4.06	4.06
	B32	2.328		2.429	4.15		
	B33	2.332		2.429	3.97		
4	B41	2.327	2.323	2.427	4.13	4.29	4.29
	B42	2.327		2.427	4.14		
	B43	2.315		2.427	4.61		
	B51	2.318		2.427	4.49		

5	B52	2.319	2.319	2.427	4.46	4.45
	B53	2.321		2.427	4.38	
7	B61	2.310	2.310	2.426	4.77	4.76
	B62	2.312		2.426	4.68	
	B63	2.309		2.426	4.82	

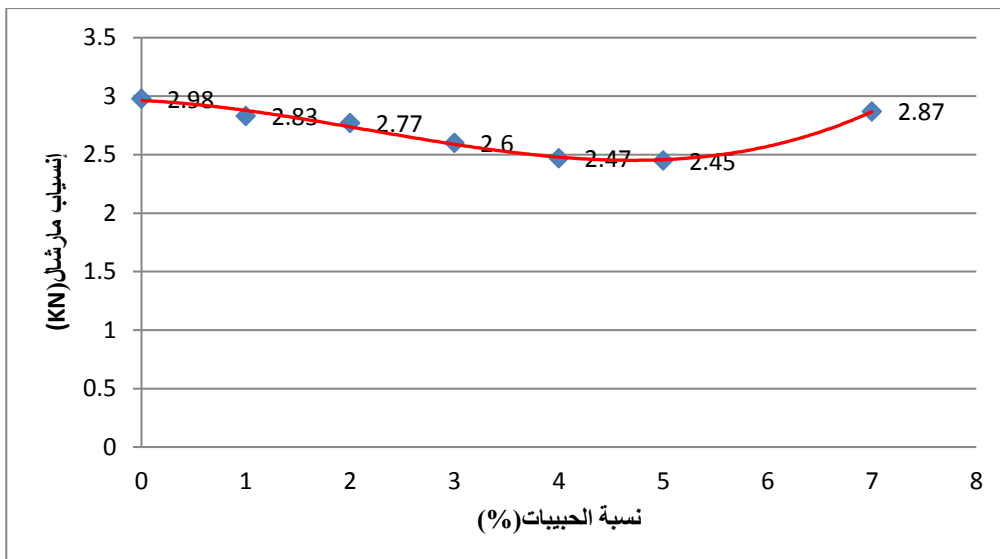
الجدول: (3-6) خصائص اختبار مارشال الموافقة لنسبة حبيبات البولي بروبيلين

حبيبات بولي بروبيلين (%)	العينة	الوزن النوعي الجمي للخلطة Gsb	نسبة الحصى المكسر (%) Ps	نسبة الفراغات للحصى المكسر (%) V.M.A	المعدل (%) V.M. A	الفراغات المليئة بالأسفلت (%) V.F.A	المعدل (%) V.F.A
0	B1	2.592	95.20	13.44	14.02	74.21	70.70
	B2	2.592	95.20	14.42		68.37	
	B3	2.592	95.20	14.21		69.52	
1	B11	2.592	95.20	14.02	14.13	72.10	71.45
	B12	2.592	95.20	14.30		70.47	
	B13	2.592	95.20	14.07		71.78	
2	B21	2.592	95.20	14.27	14.27	71.88	71.89
	B22	2.592	95.20	14.22		72.15	
	B23	2.592	95.20	14.31		71.63	
3	BB31	2.592	95.20	14.40	14.41	71.90	71.84
	BB32	2.592	95.20	14.50		71.34	
	BB33	2.592	95.20	14.34		71.28	
4	B41	2.592	95.20	14.53	14.67	71.58	70.76
	B42	2.592	95.20	14.54		71.51	
	B43	2.592	95.20	14.95		69.19	
5	B51	2.592	95.20	14.85	14.81	69.74	69.98
	B52	2.592	95.20	14.82		69.90	
	B53	2.592	95.20	14.76		70.29	
7	B61	2.592	95.20	14.15	15.14	68.49	68.58
	B62	2.592	95.20	14.07		68.97	
	B63	2.592	95.20	14.20		68.28	

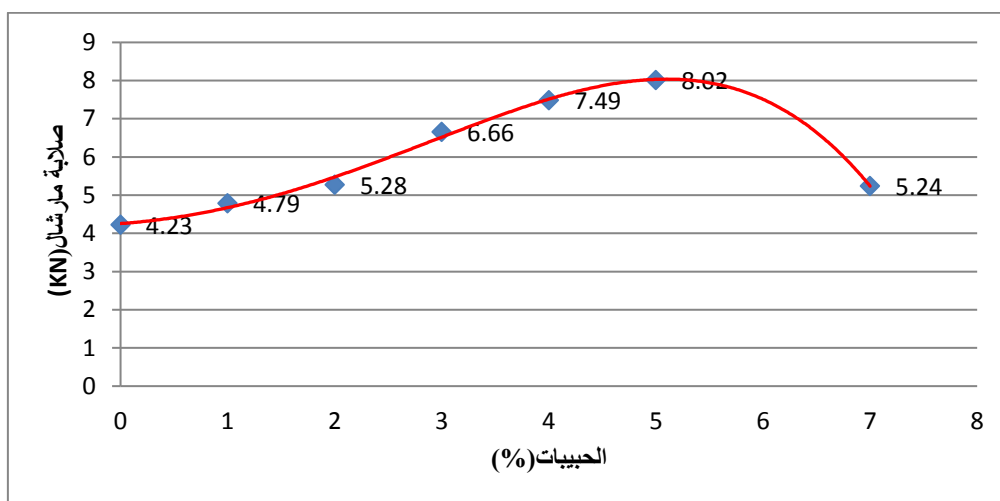
كما تم تمثيل العلاقة بين نسبة الحبيبات المضافة وبين كل خاصية من الخصائص التي يعطيها اختبار مارشال كما في الأشكال (7,8,9,10,11,12,13).



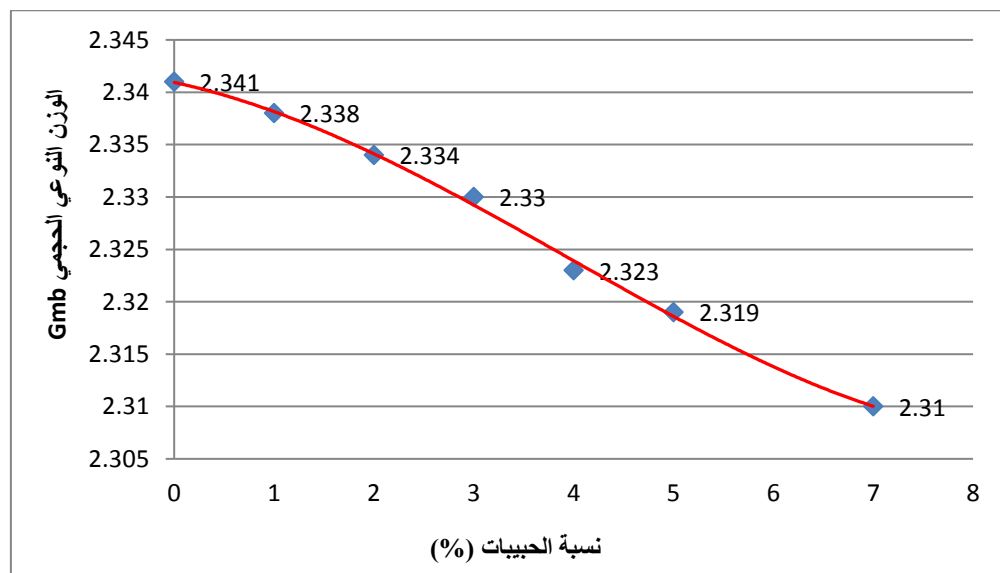
الشكل: (7) علاقة نسبة حبيبات البولي بروبيلين مع ثبات مارشال



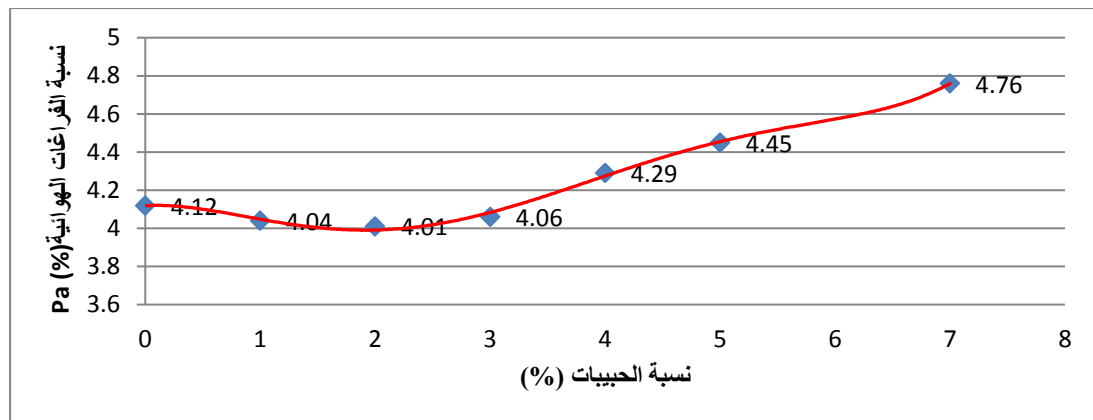
الشكل: (8) علاقة نسبة حبيبات البولي بروبلين مع إنسيب مارشال



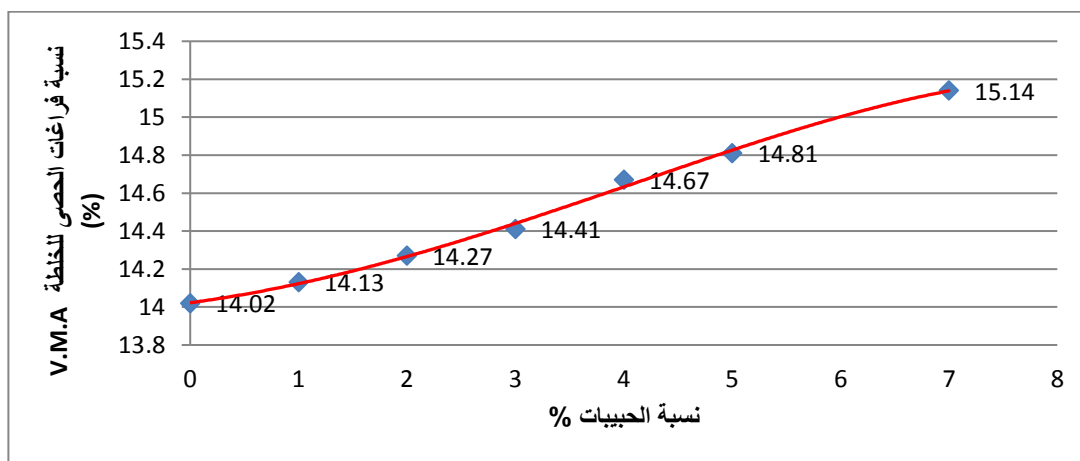
الشكل: (9) علاقة نسبة حبيبات البولي بروبلين مع صلابة مارشال



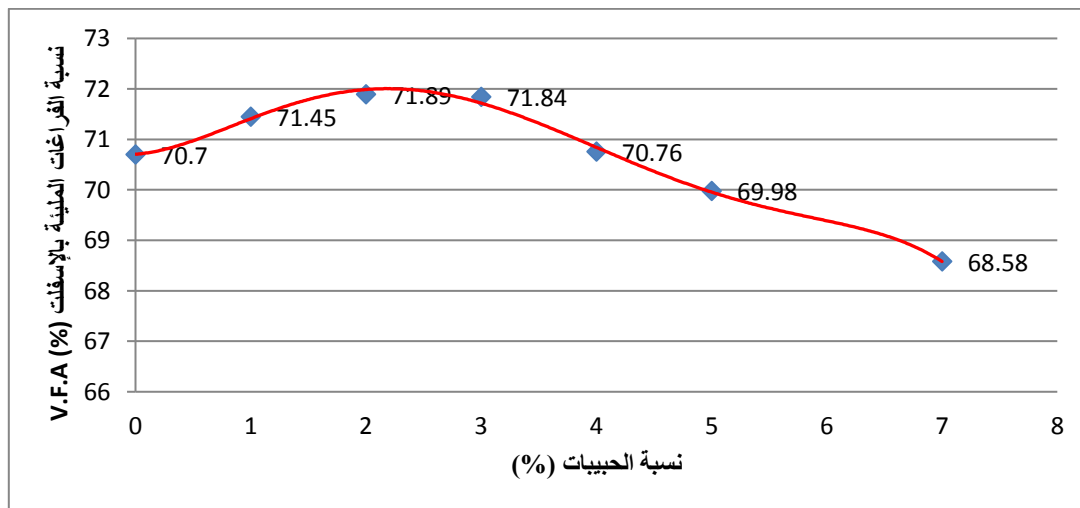
الشكل: (10) علاقة نسبة حبيبات البولي بروبلين مع الوزن النوعي الحجمي



الشكل: (11) علاقة نسبة حبيبات البولي بروبلين مع نسبة الفراغات المهاوية



الشكل: (12) علاقة نسبة حبيبات البولي بروبلين مع نسبة فراغات الركام الخشن والناعم والفلر في الخلطة الإسفلتية



الشكل: (13) علاقه نسبة حبيبات البولي بروبلين مع نسبة الفراغات المليئة بالإسفالت

نلاحظ من خلال الأشكال السابقة أن إضافة حبيبات البولي بروبلين بنسب مختلفة إلى الرابط الإسفلطي قد أعطى تحسناً في سلوكية الخلطة الإسفلتية الناتجة ويشير ذلك من خلال التأثير على كل من الخصائص التالية:

1- التأثير على الثبات: - من خلال اختبار مارشال نلاحظ بأن قيم ثبات مارشال تزداد مع زيادة نسبة حبيبات البولي بروبلين المضافة حتى الوصول إلى قيمة عظمى تتناقص بعدها قيمة الثبات مع زيادة نسبة الحبيبات ، فمن خلال الشكل (7) نلاحظ بأن حبيبات البولي بروبلين تؤثر بشكل بسيط على قيم الثبات في النسب القليلة ويبداً التأثير الفعال للحبيبات بعد النسبة 2% من الإضافة لتبلغ قيمتها العظمى عند النسبة 5% من الإضافة حيث يزداد عندها الثبات بنسبة 56% عن العينة المرجعية, بعدها يتراجع تأثير الحبيبات على تحسين قيم الثبات حيث تبلغ قيمة الزيادة في الثبات عند النسبة 7% من الإضافة تبدأ عملية التحسين على خصائص الرابط الإسفلي إلا أن كمية الحبيبات تكون غير كافية لإظهار تأثير البوليمر على سلوكية الرابط الإسفلي بالشكل الفعال ومع زيادة نسبة حبيبات البولي بروبلين المضافة يزداد التأثير على تحسين التصاق وزوجة الرابط الإسفلي الأمر الذي ينعكس على زيادة قيم الثبات وعند النسبة 5% تبدأ مرحلة التراجع حيث تصبح نسبة الحبيبات المضافة كبيرة بحيث يميل الرابط الإسفلي ليصبح عبارة عن مواد بوليميرية مطلية بالزيوت ضمن المزيج الإسفلي وذلك بصورة جزيئات كثيفة وتقليلة منتشرة ضمن الإسفلي وخصائص المزيج المعدل ستتبع بشكل أساسى لخصائص البوليمر المضاف ويفقد خصائص المزيج المتجانس كل ذلك سيؤدي إلى تراجع قيمة الثبات لمارشال مع بقاءه محققًا لشروط التصميم وفق طريقة مارشال [2] .

2- التأثير على الإنسياب: - نلاحظ من الشكل (8) أن قيم الإنسياب تتناقص مع زيادة نسبة حبيبات البولي بروبلين المضافة إلى قيمة حدية بعدها ينعكس السلوك حيث تزداد قيم الإنسياب مع زيادة نسبة الحبيبات ، فالإنسياب الحاصل في عينات مارشال عند الإنهيار يتناقص مع زيادة نسبة الحبيبات حتى الوصول إلى النسبة 4% التي يبداً عندها الإنسياب بأخذ منحى عكسي حيث يكون عندها مدار النقصان في قيمة الإنسياب عن العينة المرجعية 17% بعدها يزداد الإنسياب مع زيادة نسبة الحبيبات حيث يتراجع النقص في قيمة الإنسياب عند النسبة 7% إلى القيمة ، 4% مع ملاحظة بقاء قيم الإنسياب من أجل جميع نسب الحبيبات المضافة ضمن الحدود المسموحة لمتطلبات تصميم الخلطة الإسفلية المحددة وفق طريقة مارشال في التصميم[2] .

3- التأثير على صلابة الخلطة الإسفلية: - يلاحظ من الشكل (9) أن الصلابة تزداد مع زيادة نسبة الحبيبات المضافة حتى الوصول إلى قيمة عظمى للصلابة تأخذ بعدها بالتناقص مع زيادة نسبة الحبيبات حيث تزداد قيمة الصلابة مع الزيادة حتى النسبة 5% من الإضافة لتبلغ الزيادة 90% عن العينة المرجعية وتناقص بعدها مع زيادة نسبة الحبيبات لتبلغ الزيادة 24% عند النسبة 7% من الإضافة، تفسير ذلك بأن زيادة نسبة حبيبات البولي بروبلين المضافة إلى الرابط الإسفلي يزيد من التصاق الرابط الإسفلي ويزيد من صلابته ويقلل من مرونته وهذا مايفسر زيادة الثبات وتناقص الإنسياب وبالتالي زيادة الصلابة مع زيادة نسبة الحبيبات المضافة.

4- التأثير على الوزن النوعي الحجمي: - من الشكل (10) نلاحظ بأن الوزن النوعي الحجمي وبالتالي الكثافة الحجمية للخلطة الإسفلية تتناقص بصورة منتظمة تقربياً مع زيادة نسبة حبيبات البولي بروبلين المضافة، هذا التناقص في الكثافة الحجمية لا يؤثر على أداء الخلطة الإسفلية المعدلة بالحبيبات حيث لا تتجاوز قيمة النقص في الكثافة الحجمية 1.5% عن العينة المرجعية وذلك عند النسبة 7% من الإضافة، يفسر ذلك بأنه مع زيادة نسبة الحبيبات المضافة إلى الرابط الإسفلي تزداد لزوجة الرابط الإسفلي وتزداد صلابته الأمر الذي يؤثر

على سهولة حركة المواد الحصوية في الخلطة الإسفانية وبالتالي صعوبة إعادة توزيعها بالشكل الأفضل أثناء عملية الرص مما يقلل من كثافة الخلطة الإسفانية الناتجة وبالتالي يقل الوزن النوعي الحجمي إلا أن هذا التأثير يبقى صغيراً وبإمكان طاقة الرص المطبقة للتقليل من تأثيره بدليل الإنخفاض في قيمة النقص في الكثافة الحجمية عند النسبة الكبيرة من الحبيبات المضافة.

5- التأثير على نسبة الفراغات الهوائية: - من الشكل (11) نلاحظ بأن سلوك الفراغات الهوائية مع زيادة نسبة حبيبات البولي بروبلين المضافة يأتي تأكيداً على سلوك الكثافة الحجمية، حيث تزداد نسبة الفراغات الهوائية مع زيادة نسبة الحبيبات المضافة بعد النسبة 2% من الإضافة إلا أن هذه الزيادة تكون غير مؤثرة بشكل كبير على نسبة الفراغات الهوائية، وتبقى قيمة نسبة الفراغات عند جميع نسب الإضافة محققة لمتطلبات التصميم المحددة وفق شروط التصميم لطريقة مارشال [2] ، ويفسر ذلك بتفسير مشابه لنفسير سلوك الكثافة الحجمية، فمع زيادة نسبة الحبيبات المضافة تزداد لزوجة وصلابة الرابط الإسفاني مما يؤثر على فاعلية عملية الرص فتقل الكثافة الحجمية وبالتالي تزداد نسبة الفراغات الهوائية في الخلطة الإسفانية.

6- التأثير على نسبة فراغات المواد الحصوية في الخلطة الإسفانية: - من الشكل (12) نلاحظ بأن نسبة الفراغات بين المواد الحصوية في الخلطة الإسفانية تزداد بصورة منتظمة تقريراً مع زيادة نسبة حبيبات البولي بروبلين المضافة، وتكون الزيادة العظمى في نسبة الفراغات عند النسبة 7% من الإضافة وتبلغ 8% عن العينة المرجعية، يفسر ذلك بأن النقصان في الكثافة الحجمية للخلطة الإسفانية ينتج عنه زيادة في نسبة الفراغات بين المواد الحصوية وبما أن النقصان في الكثافة الحجمية غير كبير تكون أيضاً الزيادة في نسبة فراغات المواد الحصوية غير كبيرة أيضاً وتبقى نسبة الفراغات بين المواد الحصوية محققة لشروط التصميم من أجل جميع نسب الإضافة.

7- التأثير على نسبة الفراغات المليئة بالإسفلت في الخلطة الإسفانية : - كما هو موضح في الشكل (13) فإن نسبة الفراغات المليئة بالإسفلت تزداد مع زيادة نسبة حبيبات البولي بروبلين حتى النسبة 2% من الإضافة ثم تبدأ بالتناقص مع زيادة نسبة الحبيبات المضافة، وتفسير ذلك بأن نسبة الفراغات المليئة بالإسفلت تتبع لنسبة الفراغات الهوائية ولنسبة فراغات المواد الحصوية وبالتالي مع زيادة كل من نسبة الفراغات الهوائية ونسبة فراغات المواد الحصوية ستأخذ الفراغات المليئة بالإسفلت بالتناقص، وتبقى نسبة الفراغات المليئة بالإسفلت من أجل جميع نسب الإضافة محققة لشروط ومعايير تصميم الخلطة الإسفانية المحددة وفق شروط التصميم لطريقة مارشال [2] .

الاستنتاجات : -

- أظهرت النتائج المختبرية تحسن في مختلف خصائص الخلطة الإسفانية نتيجة إضافة حبيبات البولي بروبلين، ومن أهم الاستنتاجات التي خلصت إليها هذا البحث: -
- 1- إضافة حبيبات البولي بروبلين تزيد من قيمة ثبات مارشال وتقلل من قيمة الإنسياب مما يزيد من مقاومة وثبات الخلطة الإسفانية تحت تأثير الحمولات الناتجة عن الحركة المرورية.

- تزداد صلابة الخلطة الإسفنتية عند إضافة حبيبات البولي بروبلين وبالتالي تزداد مقاومتها للتشوهات اللدنة بما فيها التخدد مما يجعلها مناسبة للاستخدام بشكل خاص في المناطق التي تتعرض لمناخ حار لفترة طويلة من السنة.

- تزداد قابلية المزج والتشغيل للخلطة الإسفنتية المحسنة بحببيات البولي بروبلين من خلال زيادة نسبة فراغات المواد الحصوية في الخلطة الإسفنتية ونسبة الفراغات الهوائية دون التأثير بشكل كبير على الكثافة الحجمية.

- الخلطة الإسفنتية المعدلة بحببيات البولي بروبلين بقيت محققة لمتطلبات التصميم المحددة وفق طريقة مارشال في التصميم من أجل جميع نسب الإضافة.

References

- [1] O'FLAHERTY C.A., 1988 - Highway Engineering. Highway, Third Edition, Vol.2, Edward Arnold, London.
- [2] Asphalt Institute, 1969 - Asphalt Overlays and Pavement Rehabilitation. Manual Series No.17, USA.
- [3] SUDHAKAR R.K.; RAGHAVA R.K.; PANDEY B.B., 1999 - Cracking in Bituminous Layers Placed over Cracked Pavement. Transportation Research Board.
- [4] National Cooperative Highway Research Program, 1982 - Minimizing Reflection Cracking of Pavement Overlays. Synthesis of Highway practice 92, pp.1-25.
- [5] KHALEEL H.A., 2004 - Minimizing Reflective Cracking Potential of AsphaltConcrete Overlay. Al-Mustansiria University, Iraq, p.115.
- [6] TERREL R.L.; CURTIS C.; PERRY L.M.; AL-SWAILIMI S.; BRANNON E.J., 1991 - Asphalt Aggregate Interaction. Proceeding of Association of AsphaltPaving Technologists, Vol.60, (cited by Ref. 98).
- [7] KHALAF G.A., 2000 - Material Characterization of Polymer Modified Asphalt Mixtures. Cairo University, Giza, Egypt, p.246.
- [8] CARPENTER S.H.; VANDAM T., 1987 - Laboratory Performance Comparisons of Polymer-Modified and Unmodified Asphalt ConcreteMixtures. Transportation Research Record 1115.
- [9] PEREZ F.E.; GORDILLO J., 1990 - Optimization of Porous Mixes Throughthe Use of Special Binders. TRB No. 1265.
- [10] KATTAK M.J.; BALADI G.Y., 1998 - Engineering Properties of Polymer-Modified Asphalt Mixtures. Transportation Research Record, No. 1638.
- [11] QI XICHENG.; SEBAALY P.E.; EPPS J.A., 1995 - Evaluation of Polymer-Modified Asphalt Concrete Mixtures. Journal of Materials in Civil Engineering, V7, No.2.
- [12] AL-HADEDY Abd-R.I.J., 2001 - Influence of Polyethylene and Sulfur Wastes on Characteristics of Asphalt Paving Materials. M.Sc., University of Al-Mustansiriyah, Iraq.

- [13] IBRAHIM Abd-A.M.Al-D., 2003 - Evaluation of the Factors Influencing the Tensile Properties of Asphalt Paving Materials. M.Sc., University of Baghdad, Iraq.
- [14] KALOUSH K.E.; ZEIADA W.A.; BILIGIRI K.P.; RODEZNO M.C.; REED J., 2010 – Evaluation of Fiber-Reinforced Asphalt Mixture Using Advanced Material Characterization Tests. Graduate researches, Arizona State University.
- [15] NAPA Research and Education Foundation, 1994 - Hot Mix Asphalt Material, Mixture Design, and Construction. Fourth edition.
- [16] SHACKELFORD F.J., 1992 - Introduction to Materials Science for Engineering. Third edition, University of California, USA.
- [17] BERNARD B., 1996 - Polymer-Modified Asphalt Cements Used in the Road Construction Industry: Basic Principles. Transportation Research Record, No.1535.
- [18] American Society of Testing and Materials, 2004 - Annual Book of ASTM Standards. Philadelphia.